

НАКОПИТЕЛИ ЭЛЕКТРОНОВ С УЛЬТРАМАЛЫМ ЭМИТТАНСОМ — ПРОБЛЕМЫ ОПТИКИ И ДИНАМИКИ ПУЧКА

Г. Н. Баранов, А. В. Богомягков, К. Ю. Карюкина, Е. Б. Левичев¹,
П. А. Пиминов, С. В. Синяткин

Институт ядерной физики им. Г. И. Будкера СО РАН, Новосибирск, Россия

Достижения последних лет в физике и технике релятивистских циклических ускорителей заряженных частиц позволяют проектировать накопители с эмиттансом, который ограничен дифракционным пределом синхротронного излучения ($\varepsilon \sim 10$ пм при критической длине волны излучения $\lambda_c \sim 1$ Å). Способы создания столь малого эмиттанса, варианты магнитной структуры, проблемы уменьшения динамической апертуры и энергетического акцептанса, а также возможные пути решения этих проблем обсуждаются в этой статье.

Recent progress in accelerators physics and technology gives a potential for design study of a storage ring with ultimately low emittance limited by the diffraction of synchrotron radiation ($\varepsilon \sim 10$ pm for the radiation wavelength of $\lambda_c \sim 1$ Å). In the paper we discuss approaches for the emittance minimization, lattice cell design and beam dynamic challenges associated with extremely low emittance.

PACS: 29.20.D-; 29.27.Bd

ВВЕДЕНИЕ

Предельно малый эмиттанс электронного пучка важен для источников синхротронного излучения (СИ) и накопителей-затухателей, формирующих пучки для линейных коллайдеров. Разработанный недавно метод встречи в e^+e^- -коллайдерах (Crab Waist), позволяющий значительно увеличить светимость, также требует пучки с малым фазовым объемом [1]. Современные источники СИ третьего поколения оперируют с эмиттансом $\varepsilon_x \sim 1\text{--}10$ нм при энергии $E = 2\text{--}7$ ГэВ [2].

Дальнейший прогресс источников яркого жесткого излучения традиционно связывался с рентгеновскими лазерами на свободных электронах (ЛСЭ), которые стали называть «четвертым поколением источников СИ» [3]. Однако впечатляющее развитие физики и техники циклических ускорителей в последнее десятилетие позволило приступить к реализации накопителей электронов — источников СИ с $\varepsilon_x = 150\text{--}350$ пм [4] — и даже разрабатывать концепции установок с $\varepsilon_{x,y} = 10\text{--}50$ пм [5].

В статье обсуждаются вопросы уменьшения эмиттанса в накопителе частиц и проблемы, которые при этом возникают; предлагаются способы решения этих проблем.

¹E-mail: levichev@inp.nsk.su

1. УМЕНЬШЕНИЕ ЭМИТТАНСА ПУЧКА В НАКОПИТЕЛЕ

Горизонтальный эмиттанс пучка релятивистских электронов в накопителе, определяемый СИ, записывается как

$$\varepsilon_x = C_q \frac{\gamma^2}{J_x} \frac{I_5}{I_2} = C_q \frac{\gamma^2}{J_x} \frac{\oint H(s) / |\rho|^3 ds}{\oint 1/\rho^2 ds}, \quad H = \gamma_x^2 \eta_x^2 + 2\alpha_x \eta_x \eta'_x + \beta_x^2 \eta'^2_x, \quad (1)$$

где $C_q = 3,84 \cdot 10^{-13}$ м, γ — релятивистский фактор; J_x — декремент затухания бетатронных колебаний; ρ — радиус кривизны орбиты; $\alpha_x, \beta_x, \gamma_x$ — параметры Твисса; η_x — дисперсионная функция. Популярный метод уменьшения эмиттанса заключается в минимизации интеграла функции $H(s)$ путем оптимизации поведения оптических функций в поворотных магнитах [6]. Для изомагнитной структуры с одинаковыми диполями, каждый из которых поворачивает пучок на угол θ , минимальный эмиттанс может быть записан как

$$\varepsilon_{x \min} = C_q \gamma^2 F \theta^3 / J_x, \quad (2)$$

где коэффициент F зависит от типа магнитной ячейки [7] и имеет наименьшее значение: $F = (12\sqrt{15})^{-1}$, когда горизонтальная бетатронная и дисперсионная функции достигают в центре диполя минимума, зависящего от угла поворота и длины магнита. Ячейка, построенная на таком магните, получила название ТМЕ (Theoretical Minimum Emittance) [8] и изображена на рис. 3, а. Недостатком ТМЕ, которая является основой для накопителей с ультрамалым эмиттансом, является ненулевая дисперсионная функция η_x . Между тем прямолинейные промежутки с нулевой дисперсией желательны (а иногда необходимы) для установки ондуляторов, виглеров, ускоряющих резонаторов и другого оборудования. Поэтому несколько ячеек типа ТМЕ обрамляются участками, зануляющими η_x в промежутке. Такую структуру, получившую название МВА (Multiple Bend Achromat), впервые предложил Д. Айнфельд для источника СИ с эмиттансом, ограниченным дифракцией [9].

Дальнейшее уменьшение эмиттанса возможно, если в поворотные магниты ввести продольный градиент магнитного поля [10]. Теперь в (1) минимизируется не функция $H(s)$, а отношение радиационного интеграла I_5 , ответственного за квантовое возбуждение эмиттанса, к интегралу I_2 , определяющему затухание пучка, и вариация радиуса поворота вдоль магнита дает дополнительные возможности для оптимизации. Для определенности будем рассматривать магнит, у которого центр по длине является точкой зеркальной симметрии для магнитного поля и структурных функций, как это имеет место в магните ТМЕ. Поскольку β_x и η_x минимальны в центре магнита и растут к его краям вместе с $H(s)$, для компенсации этого роста в (2) необходимо, чтобы радиус кривизны в центре магнита тоже был минимален и рос к его краям.

Численная оптимизация показывает, что для получения минимального эмиттанса в магните с продольным градиентом поля рост радиуса поворота от центра магнита к краям должен, с хорошей точностью, подчиняться простому линейному закону. Или, что же самое, магнитное поле должно иметь максимум в центре диполя и спадать к его краям по гиперболе (рис. 1). Решение уравнения движения частицы и минимизация эмиттанса для такой модели поля могут быть проведены, ввиду сложных выкладок, только с использованием компьютерных программ аналитических вычислений (например, Mathematica 10.0) и приводят к весьма громоздким формулам. Однако оказывается, что если разложить выражение минимального эмиттанса в ряд по параметру $y = \ln(B(c)/B(s))$,

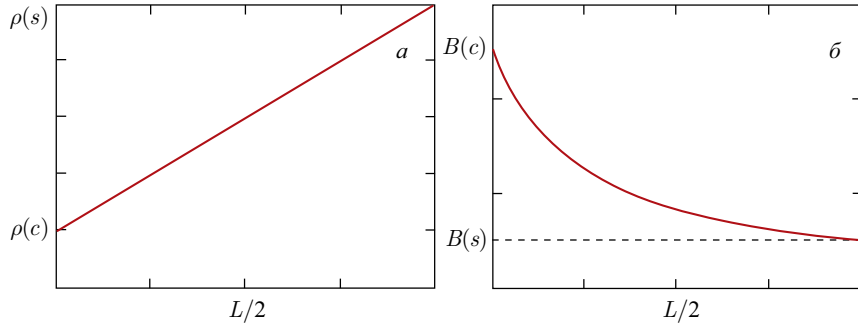


Рис. 1. Радиус поворота $\rho(s)$ (а) и магнитное поле $B(s)$ (б) вдоль длины магнита с продольным градиентом. Начало координат соответствует центру магнита

где $B(c)$ и $B(s)$ — значение поля в центре и на краю магнита (см. рис. 1), то получается очень простое выражение [12]

$$\varepsilon_{LR \min} \approx \varepsilon_{xu \ min} \left(1 - \frac{9y}{16} + \dots \right), \quad (3)$$

где $\varepsilon_{LR \ min}$ — минимальный эмиттанс для магнита с линейным ростом радиуса орбиты (Linear Radius Ramp), а $\varepsilon_{xu \ min}$ — минимальный эмиттанс (2) для магнита ТМЕ с однородным полем $B(u) = B(c)$ при условии, что угол поворота θ равен для обоих магнитов. Формула (3) показывает, что магнит с гиперболическим спадом поля позволяет получить эмиттанс тем меньше (по сравнению с однородным магнитом), чем больше отношение $B(c)/B(s)$. Максимальное поле $B(c)$ для современного сверхпроводящего диполя с разумной апертурой ограничено, по-видимому, значениями $B(c) \sim 10$ Тл [13]. Может показаться, что мы вольны сделать $B(s)$ предельно малым и тем самым получить эмиттанс значительно меньше, чем для однородного магнита. Однако для фиксированных θ и $B(c)$ это приводит к неизбежному увеличению длины поворотного магнита. Расчет показывает, что уменьшение эмиттанса в n раз, по сравнению с однородным полем, примерно в n раз увеличивает и длину неоднородного магнита. При этом, во-первых, усложняется изготовление диполя (особенно сверхпроводящего), а во-вторых, рост длины ячейки структуры может привести к тому, что ее окажется выгодным заменить на две с простым в изготовлении однородным магнитом ТМЕ и получить эмиттанс в $2^3 = 8$ раз меньше, чем для одной ячейки. Тем не менее и расчеты, и моделирование показывают, что, используя магниты с продольным градиентом поля, вполне реально уменьшить эмиттанс электронного пучка в $\sim 3-5$ раз по сравнению с однородными магнитами при прочих разумных характеристиках накопительного кольца. Магниты с вариацией радиуса поворота впервые планируется установить на модернизированный источник СИ ESRF-II в Гренобле [14].

Следует упомянуть, что и поперечный градиент поля в магните $K = G/B\rho$ может уменьшать эмиттанс по сравнению с однородным полем:

$$\varepsilon_{xg \ min} \approx \varepsilon_{xu \ min} \left(1 - \frac{3(1 + K \cdot \rho^2)\theta^2}{70} + \dots \right),$$

однако для реалистичных структур при $\theta \ll 1$ соответствующий вклад весьма мал. Для магнита с поперечным градиентом, скорее, можно говорить об уменьшении эмиттанса за

счет увеличения декремента затухания горизонтальных бетатронных колебаний $J_x > 1$, что впервые было предложено Г. Виньолой в [15]. При этом, однако, уменьшается декремент затухания продольных колебаний $J_E < 2$, что приводит к увеличению энергетического разброса и удлинению сгустка, как правило, нежелательному.

Еще один способ уменьшения эмиттанса в накопителе электронов заключается в постановке периодических дипольных магнитов-вигглеров (wigglers), увеличивающих радиационный интеграл в знаменателе (1)

$$I_2 = \oint_m \frac{ds}{\rho^2} = \oint_m \frac{ds}{\rho^2} + \oint_w \frac{ds}{\rho^2} = I_{2m} + I_{2w},$$

где разделено интегрирование по магнитам кольца (m) и магнитам вигглера (w). Однако вигглеры модифицируют не только второй интеграл, но и пятый $I_5 = I_{5m} + I_{5w}$ так, что относительное изменение эмиттанса равно

$$\frac{\varepsilon_{xw}}{\varepsilon_{x0}} = \frac{1 + I_{5w}/I_{5m}}{1 + I_{2w}/I_{2m}}. \quad (4)$$

Если вертикальное поле меняется вдоль оси вигглера z периодическим образом

$$B_y = B_w \cos(z \cdot 2\pi/\lambda_w),$$

где λ_w — длина периода вигглера, то отношение (4) можно записать в виде

$$\frac{\varepsilon_{xw}}{\varepsilon_{x0}} \approx \frac{1 + h_w^5 N_w \lambda_w^3 \bar{\beta}_x / (15\pi^3 I_{5m})}{1 + h_w^2 N_w \lambda_w / (2I_{2w})}, \quad (5)$$

где N_w — число периодов вигглера; $\bar{\beta}_x$ — среднее значение горизонтальной бетатронной функции на длине вигглера, а $h_w = B_w/B\rho$ — кривизна орбиты, соответствующая амплитуде поля. При выводе (5) собственная дисперсионная функция промежутка вигглера бралась равной нулю; отличие дисперсии от нуля приводит к увеличению результирующего эмиттанса. Характерное поведение (5) в зависимости от максимального поля вигглера для трех значений периода показано на рис. 2.

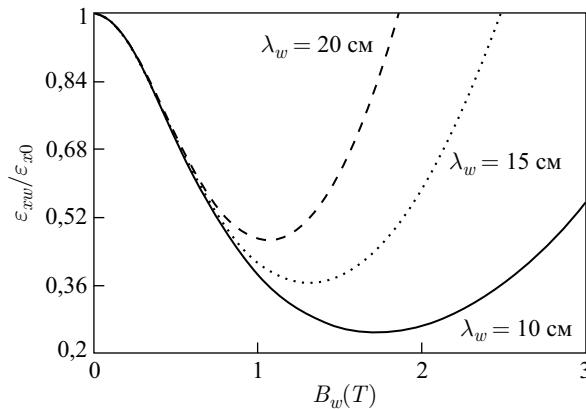


Рис. 2. Изменение эмиттанса накопителя электронов из-за постановки вигглеров

График на рис. 2 позволяет сделать следующие выводы:

- при фиксированном периоде есть такое значение амплитуды поля вигглера, при которой результирующий эмиттанс минимален. Увеличение амплитуды приводит к росту эмиттанса;
- чем меньше период и больше поле, тем меньше результирующий эмиттанс. К сожалению, это условие противоречиво, так как для вигглера с межполюсным зазором g максимальное поле и период связаны соотношением $B_w \propto \exp(-\pi \cdot g/\lambda_w)$ [17].

В числителе (5) входит среднее по длине вигглера значение бетатронной функции $\bar{\beta}_x$. Условие минимизации $\bar{\beta}_x$ накладывает определенные требования на оптику промежутка для вигглера. Так, например, если вигглеры ставятся между линзами распространенной структуры FODO с длиной ячейки L_{FODO} , минимум $\bar{\beta}_x$ достигается при набеге фазы на ячейку $\mu_x \min \approx 101^\circ$; при этом $\bar{\beta}_x \min = \sqrt{2/3}L_{\text{FODO}}$ [18].

В источнике СИ PETRA III двадцать вигглеров на постоянных магнитах длиной 4 м каждый, разработанных и изготовленных в ИЯФ СО РАН [19], уменьшают горизонтальный эмиттанс в четыре раза до рекордного для такой энергии (6 ГэВ) значения 1 нм · рад [20].

2. ПРОБЛЕМЫ ПОЛУЧЕНИЯ МАЛОГО ЭМИТТАНСА

Получение ультрамалого эмиттанса наталкивается на большие трудности физического и технического плана. К физическим проблемам можно отнести сложность оптимизации структурных функций для получения эмиттанса, близкого к (2), уменьшение динамической апертуры (ДА) из-за очень жесткой фокусировки, рост интенсивности внутрисгусткового рассеяния и т. п. К техническим сложностям относятся получение предельно больших градиентов квадрупольных ($B' \sim 100$ Тл/м) и секступольных ($B'' \sim 5000$ Тл/м²) линз, достижение высокого вакуума в малоапертурной камере и эффективная инжекция в малую ДА. Ввиду ограничения объема статьи мы обсудим одну, но ключевую проблему уменьшения области устойчивого движения частиц в накопителе с малым эмиттансом.

Получение ультрамалого эмиттанса требует очень жесткой фокусировки, приводящей к большому натуральному хроматизму, который компенсируется сильными секступольными линзами, которые уменьшают ДА. В качестве примера можно привести один из вариантов модернизации источника СИ SPring-8 (Япония), где при $E = 6$ ГэВ и $\varepsilon_x \approx 70$ пм · рад характерная апертура $A_x \times A_y \approx \pm 2 \times \pm 1$ мм, а градиент секступольных линз достигает значения $B'' = 13000$ Тл/м² [21].

ДА уменьшается из-за действия секступольных резонансов. Резонансы первого порядка возмущения $\nu_x = n$, $3\nu_x = n$ и $\nu_x \pm 2\nu_y = n$ неустойчивы, и сепаратриса резонанса определяет максимальный размер апертуры. Однако вдали от основного резонанса ДА меньше, чем ее оценка из размера сепаратрисы, поскольку резонансы высоких порядков (несмотря на то, что каждый резонанс в отдельности устойчив), перекрываясь, образуют стохастический слой, уменьшающий апертуру.

Если накопительное кольцо состоит из одинаковых компактных ячеек периодичности (так, что набег бетатронной фазы между секступольными линзами внутри ячейки мал), то в приближении изолированного резонанса можно найти следующие масштабные оценки

для ДА кольца $A_{x,y}$ и интегральной силы секступолей $(k_2 l)_{x,y}$ [22]:

$$\varepsilon_x \propto \theta^3, \quad A_{x,y} \propto \frac{\sqrt{\varepsilon_x}}{\xi_{x,y}} \propto \sqrt{\theta^3}, \quad (k_2 l)_{x,y} \propto \frac{\xi_{x,y}}{\sqrt{\varepsilon_x}} \propto \frac{1}{\sqrt{\theta^3}}, \quad (6)$$

где $\xi_{x,y}$ — хроматизм ячейки периодичности. Вычислить коэффициенты пропорциональности в (6) можно только вблизи сильного основного резонанса, воспользовавшись гармоническим представлением гамильтониана секступольного возмущения [23]. Однако моделирование нелинейного движения показывает, что скейлинг (6) выполняется и вдали от главных секступольных резонансов, по-видимому, потому, что резонансы высокого порядка есть результат взаимодействия гармоник низкого порядка и масштабные свойства низкого порядка распространяются на высокий.

Таким образом, оценка (6) показывает, что уменьшение эмиттанса и рост натурального хроматизма неизбежно ведут к увеличению секступольного возмущения и падению ДА. Если отказаться от компактности структурной ячейки, добавить несколько квадрупольных и секступольных линз, то можно, за счет выбора набора бетатронных фаз, попытаться уменьшить существенные гармоники возмущения и увеличить апертуру. Платой за это, однако, будет увеличившийся размер кольца.

3. НАКОПИТЕЛЬ С ПРЕДЕЛЬНО МАЛЫМ ЭМИТТАНСОМ И БОЛЬШОЙ ДИНАМИЧЕСКОЙ АПЕРТУРОЙ

Альтернативный подход, предложенный в [22], заключается в организации секступольных линз в пары, разделенные «минус-единичным» ($-I$) оптическим преобразованием по обеим поперечным координатам. При этом, как известно, в случае модели «тонких» (дельта-функция) секступольных линз все геометрические aberrации пары взаимно уничтожаются [24] и ДА равна бесконечности. Для линз с реальной длиной исчезают только секступольные aberrации, а более высокие (начиная с третьего порядка) остаются [25]. Однако и в этом случае динамическая апертура существенно увеличивается.

Можно показать, что в «обычной» ТМЕ-ячейке (рис. 3, *a*) невозможно одновременно получить эмиттанс, близкий к минимальному (2), и условия для получения $-I$ -преобразования по двум координатам одновременно. Это, однако, можно сделать, если разделить дипольный магнит пополам и между половинками поставить еще одну квадрупольную линзу ($Q1$ на рис. 3, *b*). Такая структура ТМЕ с разрезным магнитом (SM-TME, Split Magnet TME) по-прежнему компактна, позволяет приблизиться к предельному значению эмиттанса (2) и использует всего два семейства секступольных линз, организованных попарно (преобразованием $-I$ внутри пары) и обеспечивающих большую ДА.

Пример использования SM-TME можно найти в проекте реконструкции источника СИ второго поколения ANKA [26], где с помощью этой ячейки удалось получить эмиттанс $\varepsilon_x = 8$ нм (вместо первоначальных 83 нм) при том же размере кольца ($L = 110$ м), большой динамической апертуре и энергетическом акцептансе $\Delta E/E_0 = \pm 6\%$.

Другим примером является концептуальный проект источника СИ с энергией $E = 3$ ГэВ и ультрамальным эмиттансом $\varepsilon_x = 10$ нм, равным дифракционному $\varepsilon_r = \lambda/4\pi$

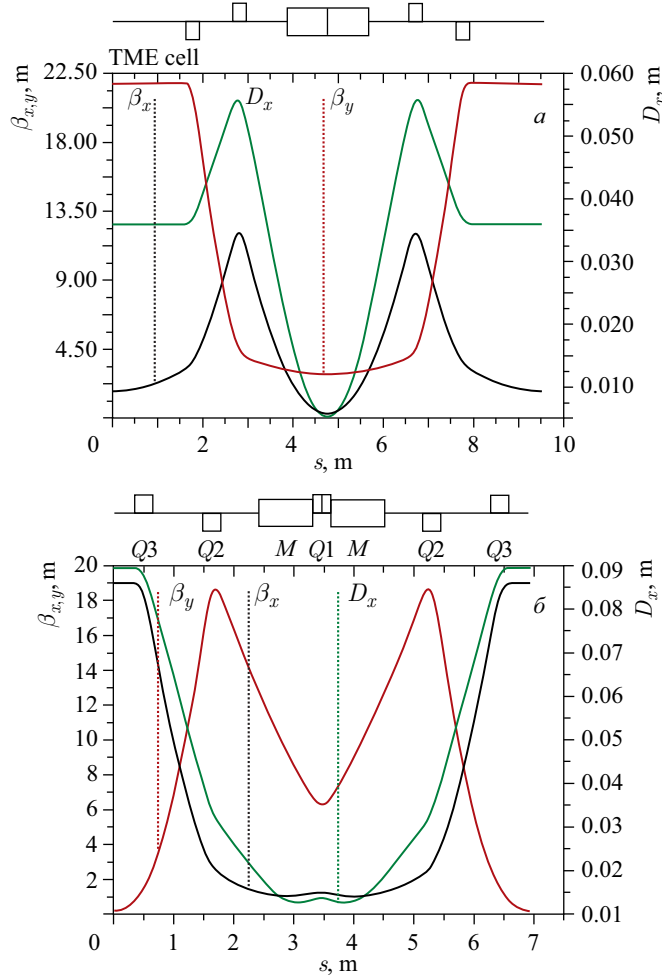


Рис. 3. Ячейка ТМЕ (а) и ячейка SM-TME с разрезным магнитом (б)

($\lambda \approx 1 \text{ \AA}$) [22]. Базовым элементом структуры является суперпериод, состоящий из пяти ячеек (5ВА) типа SM-TME (рис. 4).

Суперпериод содержит по две пары горизонтальных и вертикальных секступолей с преобразованием $-I$, компенсирующих хроматизм. Суперпериоды соединяются прямолинейными промежутками с зануленной дисперсией для постановки ондуляторов и вигтлеров (общая длина участка ~ 20 м). В таблице приведены основные параметры накопителя-источника СИ. Максимальное значение квадрупольного градиента умеренно: $B'_{\max} = 30 \text{ Тл/м}$, максимальный секступольный градиент $B''_{\max} = 5000 \text{ Тл/м}^2$ (при длине 30 см) технически реализуем при разумной межполюсной апертуре ~ 30 мм.

ДА, полученная с помощью численного моделирования и приведенная на рис. 5, а, сравнима с апертурой обычных источников СИ третьего поколения.

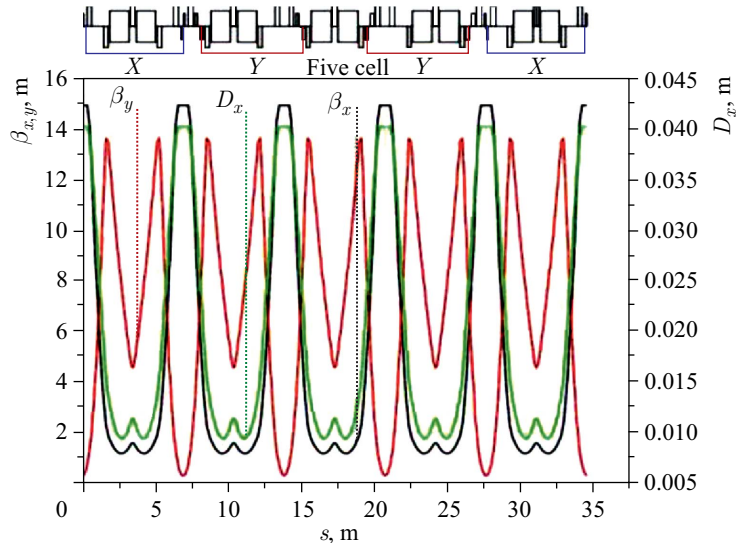


Рис. 4. Суперпериод структуры с ультрамалым эмиттансом на основе пяти ячеек (5ВА) SM-TME. Пары горизонтальных и вертикальных секступольных линз обозначены X и Y соответственно

Основные параметры ячейки периодичности SM-TME, суперпериода (СП) и кольца источника СИ с ультрамальным эмиттансом

Параметр	SM-TME	СП	Кольцо (45СП)
Длина, м	6,9	54	2430
Набег бетатрон. фазы $\mu_{x,y}/2\pi$	0,5/0,5	3,463/3,418	155,85/153,82
Эмиттанс ε_x , пм	10,48	10,48	10,13
Время затухания τ_x/τ_E , мс	0,49/0,25	0,74/0,37	0,74/0,37
Разброс энергий $\sigma_E/E \times 10^4$	2,5	2,5	2,5
Натуральный хроматизм ξ_x/ξ_y	-1,05/-1,57	-7,05/-9,76	-317,24/-439,40

На рис. 5, б цветом показан размер горизонтальной ДА на плоскости бетатронных частот суперпериода. Интересно отметить, что области уменьшения апертуры (синий цвет в электронной версии, темно-серый в печатной) соответствуют бетатронным резонансам четвертого порядка; главные секступольные резонансы третьего порядка подавлены условиями преобразования $-I$ и не наблюдаются.

ЗАКЛЮЧЕНИЕ

В статье рассмотрена принципиальная возможность разработки и создания накопителя электронов с ультрамалым эмиттансом, обсуждаются различные способы уменьшения эмиттанса и проблемы динамики пучка, связанные с этим. Описана ячейка магнитной структуры, позволяющая получить малый эмиттанс при большой динамической апертуре. В качестве примера приведен проект источника СИ с эмиттансом $\varepsilon_x = 10$ пм.

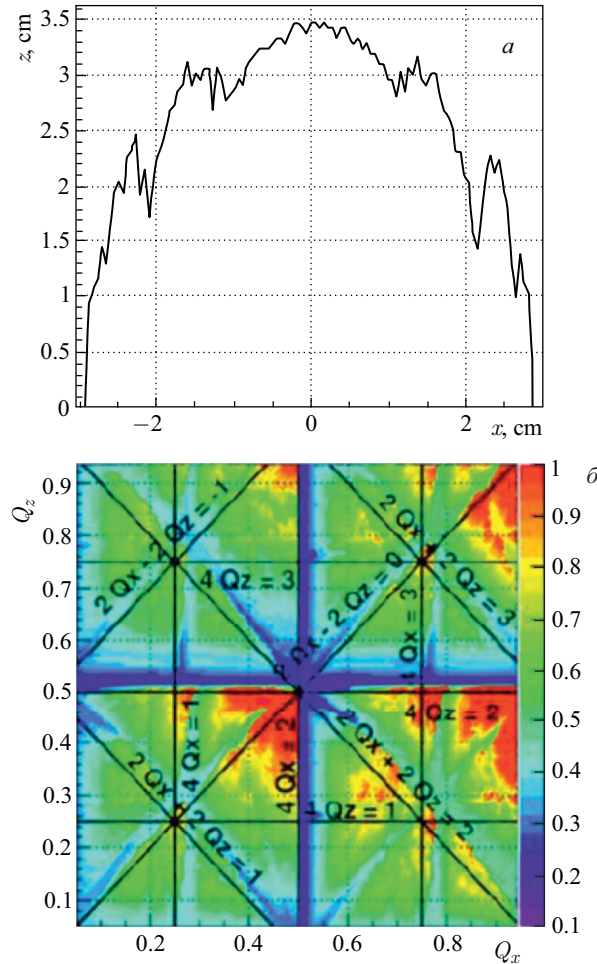


Рис. 5 (цветной в электронной версии). а) ДА источника СИ с ультрамалым эмиттансом $\varepsilon_x = 10$ пм ($\beta_{x,y} = 10$ м в точке наблюдения). б) Зависимость горизонтальной ДА от дробной части набега бетатронных частот на одном суперпериоде. Цветовая шкала показывает размер апертуры

Исследование магнита с продольным градиентом поля (разд. 1) выполнено за счет гранта Российского научного фонда (проект № 14-50-00080).

СПИСОК ЛИТЕРАТУРЫ

1. Raimondi P. // 2nd SuperB Workshop, LNF, Frascati, March 2006;
Raimondi P., Zobov M. DAФNE Techn. Note G-58. 2003;
Shatilov D., Zobov M. // ICFA BDN. 2005. V. 37. P. 99–109.
2. Bilderback D. et al. Review of Third and Next Generation Light Sources // J. Phys. B. At. Mol. Opt. Phys. 2005. V. 38, No. 9. P. 773–797.
3. Pellegrini C. Is the X-Ray FEL the 4th Generation Light Source? LCLS-TN-98-3. 1998. P. 84–87.

4. Tarawneh H. et al. MAX-IV Lattice, Dynamics Properties and Magnet System // Nucl. Instr. Meth. A. 2003. V. 508. P. 480;
Farvacque L. et al. A Low-Emissance Lattice for the ESRF // Proc. of IPAC2013, Shanghai, China, 2013. P. 79–81.
5. Bartolini R. Review of Lattice Design for Low Emittance Rings // Beam Dyn. Newslett. 2012. No. 57. P. 13.
6. Korchuganov V. N. et al. Optimization of Parameters of a Dedicated Synchrotron Radiation Source for Technology // Nucl. Instr. Meth. 1983. V. 208. P. 11–18.
7. Wiedemann H. Low Emittance Storage Ring Design // Frontiers of Particle Beams Lecture Notes in Phys. 1988. V. 296. P. 390–439.
8. Kamiya Y., Kihara M. On the Design Guideline for the Low Emittance Synchrotron Light Source. KEK 83-16. 1983.
9. Einfeld D. et al. Design of a Diffraction Limited Light Source // Proc. of the PAC1995. 1996. V. 177.
10. Tanaka H., Ando A. // Nucl. Instr. Meth. A. 1996. V. 369. P. 312;
Nagaoka R., Wrulich A. F. // Nucl. Instr. Meth. A. 2007. V. 575. P. 292.
11. <http://www.wolfram.com>
12. Baranov G., Levichev E., Sinyatkin S. arXiv:1504.01038.
13. Antokhin E. I. et al. // Nucl. Instr. Meth. A. 2007. V. 575. P. 1–6.
14. Revol J.-L. et al. ESRF Upgrade Phase II Status // Proc. of IPAC2014, Dresden, Germany, 2014. P. 209–212.
15. Vignola G. The Use of Gradient Magnets in Low Emittance Electron Storage Rings // SRI Conf., Stanford, California, 29 July–2 August, 1985. BNL 36867. 1985.
16. Tischer M. et al. Status of the PETRA III Damping Wigglers // Proc. of EPAC'06, Edinburgh, UK, June 26–30, 2006. P. 3565–3567.
17. Halbach K. // J. Phys. 1983. V. 44, Colloque C1. Suppl. to #2. P. C1.
18. Bogomyakov A., Karyukina K., Levichev E. // Proc. of IPAC2014, Dresden, Germany, 2014. P. 2038–2040.
19. PETRA III Technical Design Report. 2004.
20. Tischer M. et al. Damping Wigglers for the PETRA-III Light Source // PAC '05, Knoxville, 2005. P. 2446–2448.
21. Shimosaki Y., Soutome K. Lattice Design of a Very Low Emittance Storage Ring for the SPring-8 Upgrade Plan // Beam Dyn. Newslett. 2012. No. 57. P. 35.
22. Bogomyagkov A., Levichev E., Piminov P. Low Emittance Lattice Cell with Large Dynamic Aperture. arXiv:1405.7501.
23. Levichev E., Sajaev V. Nonlinear Phase Space Study in a Low Emittance Light Source Using Harmonic Approximation // Part. Accel. 1997. V. 56. P. 161–180;
Levichev E., Kvardakov V. Nonlinear Characteristics of the TME Cell // Proc. of EPAC06, Edinburgh, 2002.
24. Brown K. L. // IEEE Trans. Nucl. Sci. 1979. V. 26. P. 3490.
25. Bogomyagkov A. et al. Effect of the Sextupole Finite Length on Dynamic Aperture in the Collider Final Focus. arXiv:0909.4872.
26. Papash A. et al. An Ultra-Low Emittance Model for the ANKA Synchrotron Radiation Source // IPAC 2014, Dresden, Germany. P. 228–230.